

بررسی اثر الیاف ماکروستیک بر پارامتر انرژی شکست بتن

اویس افضلی نیز^۱، علیرضا دوست محمدی^۲، رامبد صفائیان^۳

۱- دکتری سازه، دانشکده مهندسی عمران دانشگاه تربیت دبیر شهید رجایی

۲- کارشناسی ارشد زلزله، دانشکده مهندسی عمران دانشگاه تربیت دبیر شهید رجایی

۳- کارشناس فنی شرکت نانونخ و گرانول سیر جان

Oveys.afzali@sru.ac.ir

چکیده

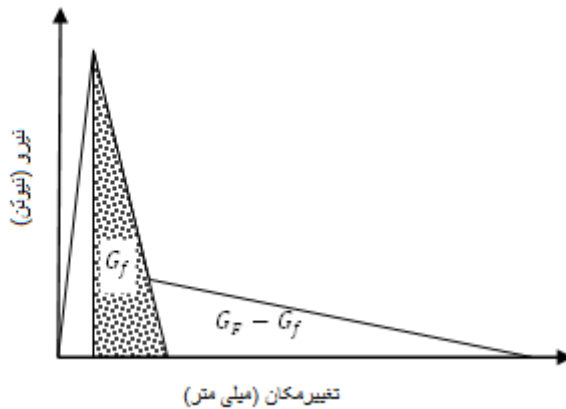
از جمله مهمترین دلایل شکست و انهدام سازه‌های بتنی گسترش ترک و نقص‌های اولیه موجود در آن‌ها است. مکانیک شکست علم بررسی نحوه ایجاد ترک در اجسام، محاسبه پاسخ سازه ترک‌خورده تحت بارهای وارده و پیش‌بینی رفتار سازه در نتیجه رشد و توسعه ترک‌های اولیه است. این مقاله به بررسی اثر مقادیر مختلف الیاف ماکروستیک بر یکی از پارامترهای مهم علم مکانیک شکست یعنی انرژی شکست بتن می‌پردازد. بدین منظور چهار طرح مخلوط با افزودن الیاف ماکروستیک به مقدار ۰/۱، ۰/۲ و ۰/۳ درصد حجمی در نظر گرفته شد. از دو روش اثر اندازه و روش کار شکست براساس دستورالعمل RILEM به منظور تعیین پارامتر انرژی شکست استفاده شده است. آزمایش‌های خمش سه نقطه‌ای بر روی تیرهای دارای شکاف انجام شد و سپس نتایج با استفاده از روش-های ذکر شده مورد تجزیه و تحلیل قرار گرفتند. نتایج نشان می‌دهد که استفاده از الیاف ماکروستیک سبب افزایش انرژی شکست بتن شده است به گونه‌ای که با افزایش میزان الیاف ماکروستیک از ۰/۳ تا ۰/۱ درصد حجمی، انرژی شکست اولیه از ۳۶/۰۴ به ۶۶/۲۹ و انرژی شکست کل از ۱۰۶/۴۴ به ۴۵۶/۶ ژول بر مترمربع افزایش یافته است.

کلمات کلیدی: بتن الیافی، الیاف ماکروستیک، انرژی شکست، روش اثر اندازه، روش کار شکست

۱. مقدمه

نقص‌های اولیه موجود و گسترش ترک، یکی از دلایل مهم شکست و انهدام سازه‌هاست. ترک‌ها می‌توانند ناشی از عوامل مختلف از قبیل معایب ساخت، عوامل محیطی و بارهای وارده باشند و در اندازه‌ها و شکل‌های مختلف در سازه ظاهر می‌شوند و تحت بارهای گوناگون رفتار متفاوتی خواهند داشت. بعضی از این ترک‌ها گسترش پیدا کرده و باعث شکست ناگهانی و فاجعه‌بار سازه‌ها می‌شوند. مکانیک شکست علم بررسی نحوه ایجاد ترک در اجسام، محاسبه پاسخ سازه ترک‌خورده تحت بارهای وارده و پیش‌بینی رفتار سازه در نتیجه رشد و توسعه ترک‌های اولیه است [۱]. کاپلان نخستین فردی بود که در مطالعات خود از ایده مکانیک شکست خطی در مواد با پایه سیمانی استفاده نمود [۲]. مفهوم مکانیک شکست الاستیک خطی در طی ۴۰ سال گذشته گسترش یافته و با درجه اطمینان بالایی برای سازه‌های فلزی مورد استفاده قرار می‌گیرد. بتن یک ماده ناهمگن با رفتار غیر خطی است که با توجه به احتمال وجود عیوب متعدد در آن، ممکن است در هنگام بروز تشکیل گسترش ترک نیز در آن صورت بگیرد. وجود ترک در سازه‌های بتنی امری احتیاج ناپذیر است و در نظر نگرفتن اثرات این ترک‌ها سبب کاهش قابل توجه عمر مفید سازه و در نتیجه به خطر افتادن اینمی آن می‌شود. شکست بتن همراه با گسترش ترک‌های متعدد در آن است و به طور معمول قبل از رسیدن یک سازه به حداکثر بار خود در آن ترک‌های بزرگی ایجاد می‌گردد. بنابراین مطالعه و شناخت رفتار شکست بتن برای مقابله با گسترش ترک در آن امری ضروری است [۳]. در تحقیقات گذشته محققین بسیاری اثر فاکتورهای مختلف از قبیل افزایش سن بتن، حداکثر اندازه سنگدانه مصرفي، نسبت آب به سیمان، حجم درشت‌دانه مصرفي، حجم پودر سنگ، مواد مضاد مانند میکروسیلیس، خاکستریادی و نانوسیلیس را بر پارامترهای شکست بتن بررسی نموده‌اند [۴-۶]. برای تحلیل دقیق رفتار بتن در بسیاری از روش‌های المان محدود، منحنی نرم

شوندگی بتن یا همان مدل دو خطی مورد نیاز است (شکل ۱). برای تعیین این منحنی، نیاز به در اختیار داشتن سه ویژگی مهم بتن یعنی مقاومت کششی (f_t)، انرژی شکست اولیه (G_f) و انرژی شکست کل (G_F) آن است. لازم به ذکر است که انرژی شکست کل و اولیه دو ویژگی کاملاً متفاوت بتن بوده که هر یک از آنها از روش آزمایش خاصی بدست آمده و مطابق مطالعات محققین، این مقادیر با نسبت‌های خاصی به یکدیگر مرتبط هستند [۳].



شکل ۱- منحنی نرم شوندگی دو خطی بتن [۳].

بتن الیافی نوعی کامپوزیت است که با بکارگیری الیاف تقویت کننده داخل مخلوط بتن منجر به بهبود محسوسی از خواص مقاومتی بتن می‌گردد. استفاده از الیاف مختلف به عنوان یک راهکار مناسب در جهت کنترل ریز ترک‌ها، ترک‌ها و جبران ضعف مقاومت کششی بتن محسوب می‌شود. از گذشته تاکنون انواع مختلفی از الیاف به منظور بهبود خواص مواد با پایه سیمانی استفاده شده است. بسیاری از الیاف از جمله فولادی، سنتیک یا طبیعی بطور گسترده در بتن استفاده می‌شود [۷]. این الیاف به طور قابل توجهی در خصوصیات مکانیکی، هندسه، اثر گذاری روی خواص بتن و هزینه باهم تفاوت دارند. الیاف سنتیک یکی از گزینه‌هایی است که استفاده از آن در بتن درسال‌های اخیر بیشتر مورد توجه قرار گرفته است. در حالت کلی الیاف سنتیک بسته به طول و قطر الیاف به دو دسته کلی ماکروسنتیک و میکروسنتیک تقسیم می‌شوند. قطر الیاف میکرو از ۵ تا ۱۰۰ میکرومتر بوده و این در حالی است که الیاف ماکرو قطری بالای $\frac{1}{3}$ میلیمتر دارند [۸]. استفاده از الیاف سنتیک (میکرو و ماکرو) در مواد سیمانی مصالحی تولید می‌کند که از نظر مقاومت، شکل پذیری، سختی و دوام بهبود یافته‌اند. بهمنظور اصلاح رفتار بتن، با پیدایش نخستین ترک‌ها، الیاف با پل زدن بین ترک‌ها به شکل پذیری بعد از ترک خوردن گی کمک می‌کنند. مدل الاستیستیک و مقاومت کششی از جمله گرفته از تأثیر قابل ملاحظه‌ای بر عملکرد و رفتار الیاف در بتن دارد. همان طور که اشاره شد عدمه تحقیقات انجام گرفته در حوزه مکانیک شکست مربوط به بتن معمولی بوده است. تغییر هر یک از اجزای تشکیل دهنده بتن سبب تغییر در ریزساختار و درنتیجه رفتار بتن می‌گردد. به عبارت دیگر، استفاده از مواد افزودنی همچون الیاف در بتن باعث ایجاد تغییرات در ساختار و رفتار آن نسبت به بتن‌های معمولی گردیده است. از آنجایی که ریزساختار بتن الیافی دارای تفاوت‌های زیادی نسبت به بتن معمولی است، تحقیقات در زمینه پارامترهای شکست بتن خودتراکم الیافی ضروری به نظر می‌رسد. هدف این مقاله بررسی تأثیر مقادیر مختلف الیاف ماکروسنتیک بر مهمترین پارامتر شکست بتن یعنی انرژی شکست با روشن کار شکست و اثر اندازه می‌باشد. در علم مکانیک شکست انرژی شکست بدست آمده از روش اثر اندازه با نام انرژی شکست اولیه (G_f) و انرژی شکست بدست آمده از روش کار شکست با نام انرژی شکست کل (G_F) شناخته می‌شود. همچنین همان طور که اشاره شد پیدا کردن نسبت بین این دو پارامتر از اهمیت خاصی در رسم منحنی دوپارامتری نرم شوندگی بتن برخوردار است.

۲. برنامه آزمایشگاهی

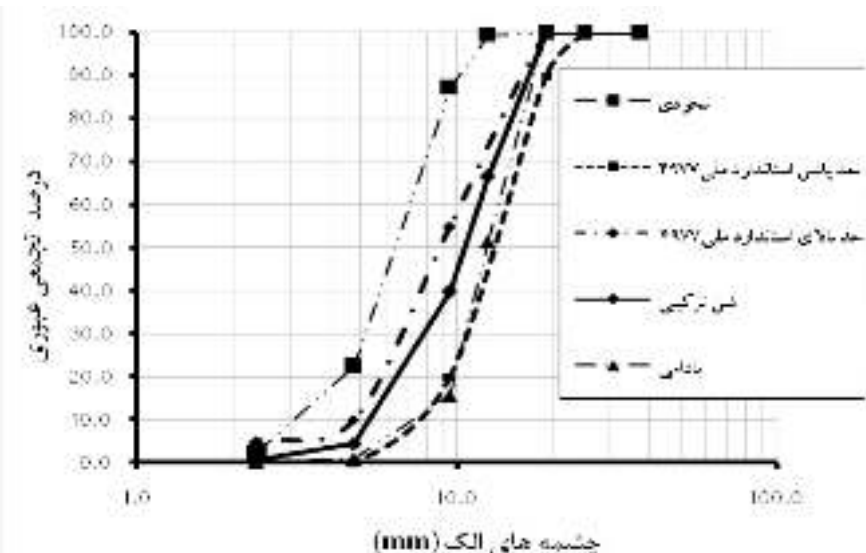
۲-۱- مصالح مصرفی

مصالح مورد استفاده در این تحقیق شامل سیمان، شن، ماسه، آب، افزودنی فوق روان‌کننده و الیاف می‌باشد که در ادامه جزئیات آن آورده شده است. سیمان مصرفی در ساخت کلیه نمونه‌ها، سیمان نوع ۲ تهران می‌باشد. مشخصات شیمیایی سیمان در جدول شماره ۱ آمده است. مصالح سنگی مورد استفاده از

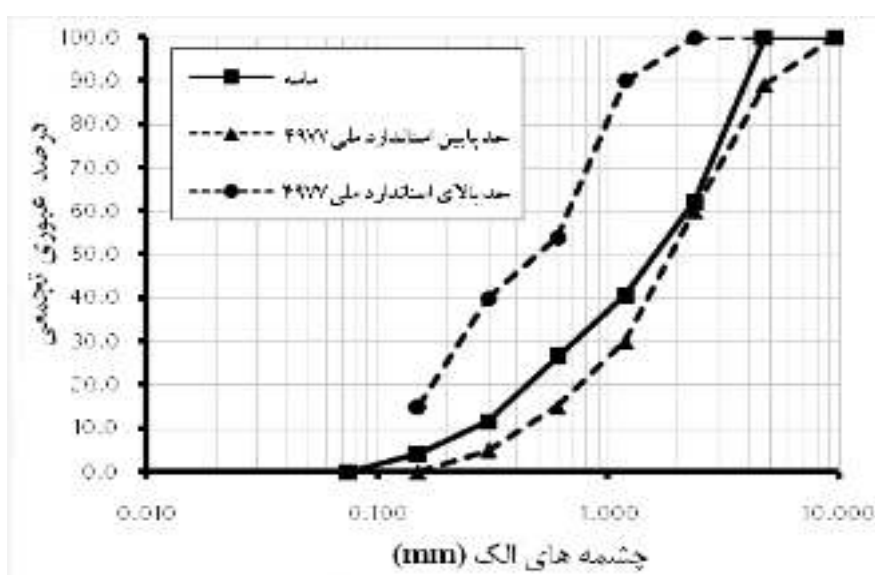
معدنی در غرب تهران تهیه شده است. فوق روان کننده مورد استفاده با پایه پلی کربوکسیلات می‌باشد. آب مصرفی در ساخت نمونه‌ها آب شرب شهری است. دانه‌بندی شن و ماسه مصرفی به ترتیب در شکل‌های ۲ و ۳ نشان داده شده است. نسبت‌های دو نوع شن به گونه‌ای انتخاب شد که دانه‌بندی ترکیب آن دو نوع شن در محدوده استاندارد ملی ۴۹۷۷ قرار گیرد. همان‌طور که در شکل ۲ مشخص است دانه‌بندی شن ترکیبی در محدوده استاندارد قرار دارد.

جدول ۱- ترکیب شیمیایی سیمان مورد استفاده.

مشخصه شیمیایی	SiO ₂	CaO	Al ₂ O ₃	Fe ₂ O ₃	MgO	SO ₃	K ₂ O	Na ₂ O
درصد	۲۱/۴۲	۶۳/۲۵	۴/۵۱	۴/۳۸	۱/۴	۳/۱۷	۰/۹	۰/۲



شکل ۲- منحنی دانه‌بندی شن مصرفی در این تحقیق.



شکل ۳- منحنی دانه‌بندی ماسه مصرفی در این تحقیق.

در این تحقیق به منظور بررسی اثر الیاف ماکروستیتیک بر پارامتر انرژی شکست بتن از الیاف سنتیک سینوسی استفاده شده است. این الیاف از شرکت نانونخ و گرانول سیرجان تهیه شده است. مشخصات ظاهری و خواص مقاومتی این الیاف در جدول ۲ آورده شده است.

جدول ۲- مشخصات الیاف ماکروستیتیک مورد استفاده.

ردیف	نوع الیاف	شکل	طول (mm)	چگالی (gr/cm ³)	مقاومت کششی (MPa)	مدول الاستیسیته (GPa)
۱	الیاف سینوسی مدول و مقاومت بالا بر پایه پلی الفین اصلاح شده		۴۰	۰/۹۱	۵۸۰	۵/۷

۲-۲- طرح مخلوط‌ها

طرح مخلوط‌های مورد استفاده در این تحقیق در جدول ۳ آورده شده است.

جدول ۳- طرح مخلوط‌های مورد استفاده در این تحقیق

کد طرح	w/c	سیمان (Kg/m ³)	شن نخودی *SSD (Kg/m ³)	شن بادامی *SSD (Kg/m ³)	ماسه وضعیت *SSD (Kg/m ³)	الیاف ماکرو سینوسی (Vol %)
Control	۰/۴	۴۲۰	۱۸۰	۵۹۸	۹۰۰	۰
S _{۰,۱}	۰/۴	۴۲۰	۱۸۰	۵۹۸	۹۰۰	۰/۱
S _{۰,۲}	۰/۴	۴۲۰	۱۸۰	۵۹۸	۹۰۰	۰/۲
S _{۰,۳}	۰/۴	۴۲۰	۱۸۰	۵۹۸	۹۰۰	۰/۳

۲-۳- روش محاسبه پارامترهای شکست

به منظور تعیین پارامترهای شکست بتن روشهای مختلفی در استانداردهای بین المللی پیشنهاد شده است. در میان روشهای پیشنهاد شده سه روش اثراًندازه، کارشکست و دو پارامتری از متداول‌ترین روشهای برای تعیین پارامترهای شکست بتن محسوب می‌شوند. در این مقاله به منظور تعیین انرژی شکست اولیه (G_f) از روش اثر اندازه مطابق RILEM TC-۸۹ [۶] و برای تعیین انرژی شکست کل (G_T) از روش کارشکست مطابق دستورالعمل RILEM TC-۵۰ [۱۰] استفاده شده است. در روش کارشکست آزمایش بر روی ۳ تیر شکاف‌دار تحت خمش سه نقطه‌ای انجام شد. این تیرها دارای ابعاد ۱۰۰×۱۰۰×۸۴۰ میلی‌متری بوده و شکاف اولیه در آن‌ها با قرار دادن یک ورق با ضخامت ۳ میلی‌متر در وسط سطح کششی تیر ایجاد شد. در روش اثر اندازه همه تیرها دارای ضخامت یکسان بوده و از نظر هندسی در دو بعد دیگر مشابه بودند. برای انجام آزمایش برای هر ارتفاع مطرح شده، سه نمونه تیر ساخته شد و در مجموع برای هر طرح اختلاط ۱۲ تیر شکاف‌دار ساخته و مورد آزمایش قرار گرفت. مشخصات تیرها در روش اثر اندازه در جدول ۴ آورده شده است. به منظور تعیین انرژی شکست هر یک از طرح‌های مخلوط، علاوه بر داده‌های حاصل از آزمایش‌های روش کارشکست و روش اثر اندازه، به مقادیر مدول الاستیسیته و مقاومت کششی بتن نیز نیاز بود. بنابراین در هر طرح، سه نمونه استوانه‌ای ۱۵×۳۰ سانتی‌متری برای تعیین مدول الاستیسیته و سه نمونه استوانه‌ای الاستیسیته و مقاومت کششی بتن نیز نیاز بود.

۲۰×۱۰ سانتی متری مقاومت کششی بتن و نیز سه نمونه مکعبی ۱۰ سانتی متری برای تعیین مقاومت فشاری بتن ساخته شد. کلیه آزمایش‌ها در محل آزمایشگاه بتن دانشگاه تربیت دبیر شهید رجایی انجام شده است. شکل ۴ تصویری از نمونه در حال انجام آزمایش و نیز سطح شکست نمونه حاوی الیاف را نشان می‌دهد.

جدول ۴- ابعاد نمونه‌های ساخته شده برای تعیین پارامترهای شکست در روش اثر اندازه

طول نمونه (mm)	طول دهانه (mm)	طول شکاف (mm)	ضخامت (mm)	ارتفاع (mm)	اسمی درشت‌دانه (mm)
۱۰۲	۹۵/۲	۷/۶	۳۸/۱	۳۸/۱	۱۲/۵
۲۰۳	۱۹۰/۵	۱۵/۲		۷۶/۲	
۴۰۷	۳۸۱	۳۰/۵		۱۵۲/۴	
۸۱۴	۷۶۲	۶۱		۳۰۴/۸	



شکل ۴- تصویری از یک نمونه در حال آزمایش (سمت چپ) و سطح شکست بتن پس از آزمایش (سمت راست).

۱-۳-۲- محاسبه پارامترهای شکست با روش آزمایشگاهی اثر اندازه

برای محاسبه پارامترهای شکست بر مبنای روش مذکور، مراحل زیر بایستی انجام شود. ابتدا حداکثر نیروی قابل تحمل توسط تیرها در هر طرح مخلوط باید مشخص گردد. در ادامه برای تعیین ضرایب زیر از رگرسیون خطی مختصات Y_j در مقابل X_j استفاده می‌شود.

$$Y_j \quad (1)$$

$$Y_j = \left(\frac{b h_j}{p_j^0} \right)^2 \quad . \quad X_j = h_j \quad (2)$$

مقادیر A و C شبیب و عرض از مبدأ رابطه (۱) هستند. همچنین در رابطه (۲) مقادیر P_z , b و hj به ترتیب بار حداکثر اصلاح شده مطابق دستورالعمل RILEM TC-۸۹، عرض و ارتفاع تیر هستند. مقادیر انرژی شکست اولیه (G_f) و نرخ رهاسازی انرژی (α) بصورت زیر محاسبه می‌شوند.

$$G_f = \frac{g(\alpha)}{E_c A} \quad (3)$$

$$g(\alpha) = 2.25 \left(\frac{s}{h} \right)^2 \pi a |F(\alpha)|^2 \quad (4)$$

در رابطه بالا پارامترهای E_c , α , s و h به ترتیب مدول الاستیسیته بنن، طول ترک اولیه نسبی، طول دهانه و ارتفاع تیرهای مورد آزمایش هستند. همچنین پارامتر $F(\alpha)$ نیز تابعی کمکی است که برای برونویانی نتایج به نمونه‌های بسیار بزرگ مورد استفاده قرار گرفته و بر اساس RILEM TC-۸۹ تعیین شود. سایر پارامترهای شکست نیز می‌تواند براساس روابط ارائه شده در دستورالعمل RILEM TC-۸۹ محاسبه شوند.

۲-۳-۲- محاسبه پارامترهای شکست با روش آزمایشگاهی کار شکست

مقدار انرژی شکست حاصل از این روش که به انرژی شکست کل نیز معروف است به صورت مقدار انرژی مورد نیاز برای ایجاد ترک با سطح واحد تعريف شده و با استفاده از رابطه زیر از تقسیم سطح زیر نمودار بار-جایجاوی بر مساحت سطح شکست بنن محاسبه می‌شود [۱۱]:

$$G_p = \frac{W_F}{b(h - a_0)} \quad (5)$$

در رابطه بالا W_F انرژی کل لازم برای دو نیم شدن تیر بوده و معادل سطح زیر منحنی بار- جایجاوی است، b عرض تیر، h ارتفاع تیر و a_0 طول شکاف اولیه تیر است.

۳. نتایج آزمایشگاهی

۱-۳- خواص مکانیکی

مقاومت فشاری، مقاومت کششی و مدول الاستیسیته نمونه‌های ساخته شده در این تحقیق در جدول ۵ آورده شده است. همان‌طور که مشاهده می‌شود افزایش مقدار الیاف ماکروستیک تاثیر قابل ملاحظه‌ای بر خواص مکانیکی نداشته است.

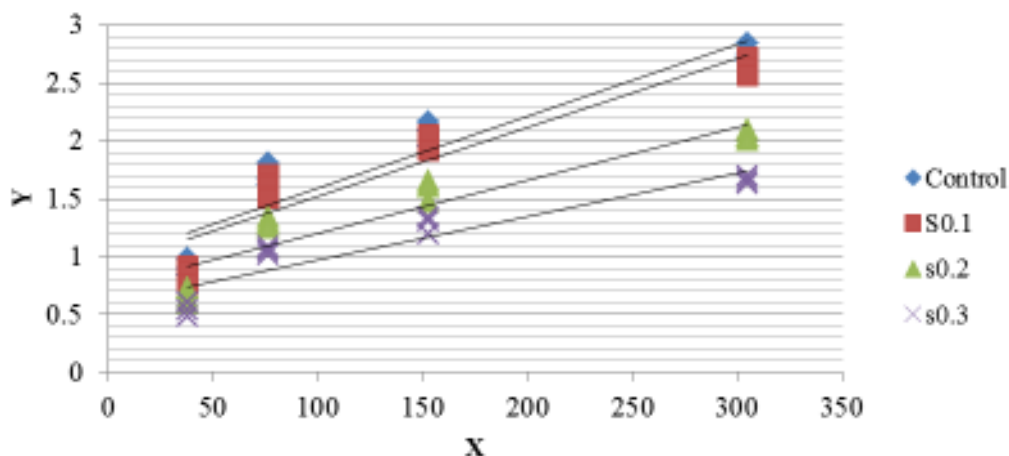
۲-۴- انرژی شکست بر مبنای روش اثر اندازه

برای تعیین پارامترهای شکست بر مبنای روش اثر اندازه، بایستی ابتدا با انجام مطالعه آزمایشگاهی بر روی ۱۲ تیر با ابعاد معین حداکثر بار تحمل شده تیرها تعیین گردد. سپس بر طبق توصیه‌نامه‌ی RILEM TC-۸۹، اثرات مرتبط با وزن نمونه بایستی در محاسبات لحاظ شود و بدین منظور مقدار بار بیشینه‌ی اصلاح شده محاسبه گردد. سپس با برونویانی نمونه‌هایی با ابعاد معین به نمونه‌ای با ابعاد بسیار بزرگ، می‌توان مدل مکانیک شکست الاستیک خطی را شیوه‌سازی نموده و از روابط آن استفاده نمود. جدول ۵ مقدار بار حداکثر اصلاح شده متناسب با اندازه نمونه‌ها را نشان می‌دهد.

جدول ۵- خواص مکانیکی و بارهای حداکثر اصلاح شده

بار حداکثر اصلاح شده (N)			عمق (mm)	مدول الاستیسیته (GPa)	مقام کششی (MPa)	مقام فشاری (MPa)	کد طرح
تیر ۳	تیر ۲	تیر ۱					
۱۵۹۰	۱۵۳۳	۱۴۶۵	۳۸/۱	۳۱/۲	۳/۱	۴۳/۱	Control
۲۲۴۳	۲۲۸۰	۲۱۶۰	۷۶/۲				
۴۱۵۵	۴۰۲۰	۳۹۵۴	۱۵۲/۴				
۷۰۹۰	۷۰۱۰	۶۸۹۰	۳۰۴/۸				
۱۶۷۰	۱۵۵۶	۱۵۲۰	۳۸/۱	۳۰/۵	۳/۲۵	۴۴	S0,1
۲۳۶۴	۲۲۸۰	۲۲۲۰	۷۶/۲				
۴۱۹۵	۴۰۵۴	۴۰۷۵	۱۵۲/۴				
۷۲۶۰	۷۱۷۰	۷۰۵۰	۳۰۴/۸				
۱۷۰۱	۱۸۶۸	۱۸۰۳	۱۷۰۱	۳۰/۱	۳/۴۹	۴۴/۵	S0,2
۲۵۰۷	۲۶۰۱	۲۵۵۳	۲۵۰۷				
۴۵۲۱	۴۷۸۱	۴۵۷۹	۴۵۲۱				
۸۱۲۵	۸۲۰۱	۸۰۲۸	۸۱۲۵				
۱۸۷۲	۲۰۹۳	۱۹۸۴	۱۸۷۲	۳۰/۱	۳/۴۹	۴۴/۵	S0,3
۲۷۸۳	۲۸۸۷	۲۸۳۴	۲۷۸۳				
۵۰۱۹	۵۳۰۶	۵۰۸۳	۵۰۱۹				
۸۹۹۶	۹۱۰۴	۸۹۱۲	۸۹۹۶				

برای هر کدام از طرح مخلوط‌های تحقیق باستی فرایند بروون‌یابی و برآش بهصورت جداگانه انجام شود و مقادیر A و C نیز بطور مجزا محاسبه شوند (شکل ۵). جدول ۶ کلیه این مقادیر را برای طرح مخلوط‌های این تحقیق نشان می‌دهد. به عنوان مثال همان‌طور که مشاهده می‌شود با تحلیل رگرسیون خطی برای طرح اختلاط control مقادیر ضرایب شیب (A) و عرض از مبدأ (C) به ترتیب برابر برابر $0.0062 \text{ mm}^{-1} \text{ MPa}^{-2}$ و 0.974 MPa^{-2} به دست آمدند. پارامتر شکست اصلی شامل انرژی شکست اویله G_f و چرمگی شکست (K_{IC}) مرتبط با روش اثر اندازه مطابق دستورالعمل RILEM TC-89 به دست آمده و در جدول ۶ نشان داده شده است.



شکل ۵- بروون‌یابی خطی و برآش خط بر داده‌های آزمایشگاهی

جدول ۶- مقادیر آماری و پارامترهای شکست با روش اثر اندازه در طرح مخلوطهای این تحقیق.

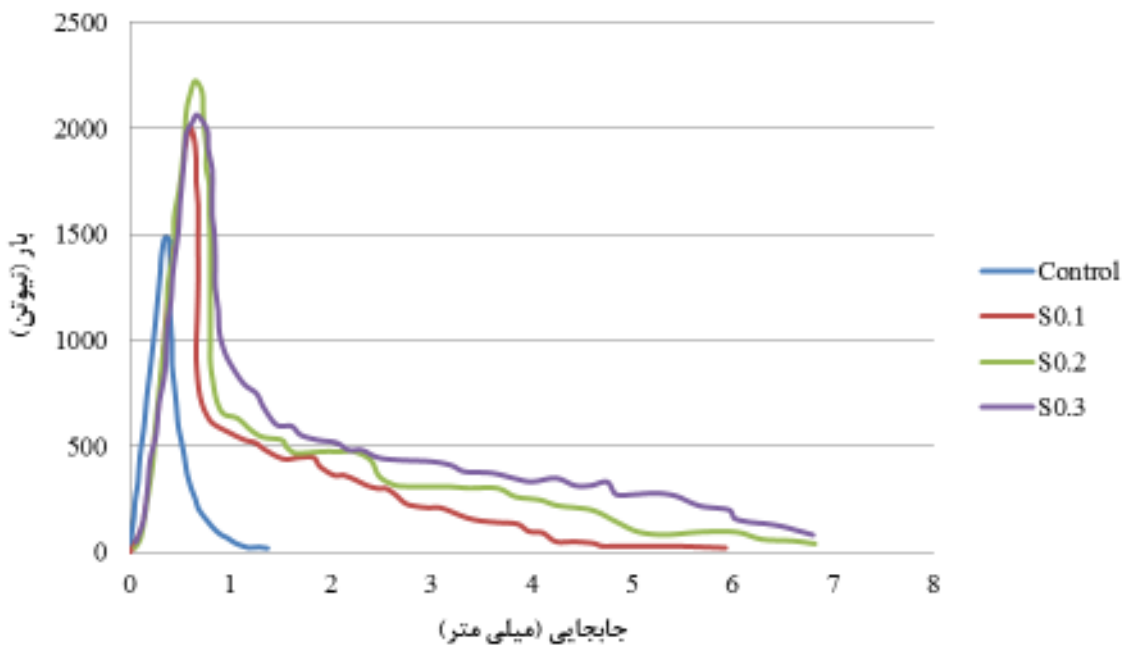
K_{IC} (MPa mm ^{-0.5})	(N/m) G_f	C (MPa ⁻²)	A (mm ⁻¹ MPa ⁻²)	کد طرح
۳۴/۲۷	۳۶/۰۴	۰/۹۷۴	۰/۰۰۶۲	Control
۳۴/۸۴	۳۹/۸	۰/۹۲	۰/۰۰۶	S _{0,1}
۳۹/۸	۵۲/۶	۰/۷۴	۰/۰۰۴۶	S _{0,2}
۴۴/۳۷	۶۶/۲۹	۰/۶۰۲	۰/۰۰۳۷	S _{0,3}

یکی از مباحث مهم مورد بررسی در این تحقیق برسی تاثیر استفاده از الیاف ماکروستیک بر پارامترهای شکست بتن است. همان‌طور که در جدول ۶ مشاهده می‌شود، استفاده از الیاف سبب افزایش انرژی شکست اولیه (G_f) شده به طوری که استفاده از ۰/۱، ۰/۲ و ۰/۳ درصد حجمی الیاف ماکروستیک به ترتیب سبب افزایش ۴۵/۹٪، ۸۳/۸٪ و ۱۰/۴٪ انرژی شکست اولیه شده است. این افزایش در مقدار انرژی شکست اولیه می‌تواند ناشی از این مورد باشد که حضور الیاف سبب به تأخیر افتادن شروع و گسترش میکروترک‌ها در بتن شده، بنابراین ظرفیت تحمل بار تبر افزایش پیدا کرده و متعاقباً سبب افزایش انرژی شکست شده است [۱۲]. براساس داده‌های آزمایشگاهی بدست آمده از این تحقیق رابطه خطی بین انرژی شکست اولیه (G_f) و الیاف مصرفی (V_f) به شرح زیر بدست آمد:

$$G_f = 103.55V_f + 33,15 \quad (R^2 = 0.95)$$

۳-۳- پارامترهای شکست بر مبنای روش کارشکست

در این روش مقدار انرژی شکست از تقسیم سطح زیر نمودار بار-جایجاوی بدست آمده از آزمایش خمس سه نقطه‌ای (شکل ۶) بر مساحت سطح شکست بتن محاسبه می‌گردد و به انرژی شکست کل معروف می‌باشد. مقادیر انرژی شکست کل حاصل از این پژوهش در جدول ۷ نشان داده شده است. همان‌طور که در جدول ۷ مشاهده می‌شود، نتایج به دست آمده برای انرژی شکست کل (G_F) نیز به درصد جایگزینی الیاف وابسته بوده است به طوری که به طوری که استفاده از ۰/۱، ۰/۲ و ۰/۳ درصد حجمی الیاف ماکروستیک به ترتیب سبب افزایش ۱۲۳٪، ۲۴۵٪ و ۳۵۰٪ انرژی شکست کل (G_F) شده است. این افزایش به علت طول بلند و نیز شکل سینوسی شکل الیاف است که سبب درگیری بهتر با بتن در محل شروع ترک شده و پس از ترک خوردگی‌های بزرگ بر روی ترک‌ها پل زده و مانع از گسترش ترک‌ها و درنتیجه سبب افزایش سطح زیر نمودار بار-جایجاوی می‌شود.



شکل ۶- منحنی نیرو-تغییر مکان برای نمونه های حاوی مقادیر مختلف الیاف ماکروستیتیک

جدول ۷- مقادیر GF بدست آمده از آزمایش WFM

کد طرح (N/m)	انرژی شکست کل
۱۰۶/۴	Control
۲۲۹/۶	S0,1
۳۵۱/۸	S0,2
۴۵۶/۵	S0,3

۴-۳- نسبت انرژی شکست کل به انرژی شکست اولیه

از آنجایی که برای تعیین مقدار انرژی شکست اولیه (G_f) تنها به بیشینه بار قابل تحمل توسط تیرها تحت آزمایش خمس سه نقطه‌ای نیاز است از این رو محاسبه G_F از G_f آسان‌تر بوده و نتایج حاصل از آن نیز دقیق‌تر خواهد بود. در رابطه با بتن‌های معمولی و نیز بتن خودتراکم محققین مختلفی به تعیین نسبت G_F به G_f پرداخته‌اند. بیگی و همکاران [۵] در مطالعاتشان به تعیین این نسبت در بتن خودتراکم پرداختند و مقادیر در محدوده ۲/۷ تا ۳/۱۱ برای نسبت انرژی شکست کل (G_F) به انرژی شکست اولیه (G_f) ذکر کردند. نیک بین و همکاران [۱۳] در مطالعاتشان به بررسی اثر بکارگیری مقادیر مختلف ریزدانه معدنی بر رفتار شکست بتن خودتراکم پرداختند. نتایج این تحقیق نشان داد نسبت انرژی شکست کل (G_F) به انرژی شکست اولیه (G_f) در محدوده عدد ۳ تغییر خواهد کرد. این نسبت برای بتن‌های پر مقاومت برابر با ۲/۸۸ تخمین زده شده است [۱۴]. در این تحقیق نسبت انرژی شکست کل به انرژی شکست اولیه در نمونه بدون الیاف برابر با ۲/۹۵ و برای بتن حاوی الیاف ماکروستیتیک در حدود ۵/۶۷ تا ۶/۸۸ بدست آمده است.

جدول ۸- نسبت انرژی شکست کل به انرژی شکست اولیه در هر طرح مخلوط.

G _F /G _f	G _F (N/m)	G _f (N/m)	کد طرح
۲/۹۵	۱۰۶/۴	۳۶/۰۴	Control
۵/۷۶	۲۲۹/۶	۳۹/۸	S _{۰,۱}
۶/۶۸	۳۵۱/۸	۵۲/۶	S _{۰,۲}
۶/۸۸	۴۵۶/۵	۶۶/۲۹	S _{۰,۳}

۴. نتیجه‌گیری

- نتایج حاصل از مطالعات آزمایشگاهی بر روی پارامترهای شکست در بتن حاوی الیاف ماکروستیک را می‌توان به‌طور خلاصه بصورت زیر بیان نمود:
- ۱- حضور الیاف ماکروستیک در طرح مخلوط تاثیر چندانی بر خواص مکانیکی نداشته است.
 - ۲- مقدار انرژی شکست در هر دو روش اثر اندازه و کارشکست به شدت به مقدار الیاف مصرفی وابسته است.
 - ۳- استفاده ۰/۱، ۰/۲ و ۰/۳ درصد حجمی الیاف ماکروستیک به ترتیب سبب افزایش ۱۰/۴٪، ۴۵/۹٪ و ۸۳/۸٪ انرژی شکست اولیه (G_f) است.
 - ۴- با افزایش درصد جایگزینی الیاف سطح زیر منحنی بار جایجای افزایش پیدا کرده است به گونه‌ای که استفاده از ۰/۱، ۰/۲ و ۰/۳ درصد حجمی الیاف ماکروستیک به ترتیب سبب افزایش ۱۲۳٪، ۲۴۵٪ و ۳۵۰٪ انرژی شکست کل (G_F) شده است.
 - ۵- نسبت انرژی شکست کل به اولیه (G_F/G_f) برای بتن معمولی برابر ۲/۹۵ و برای بتن حاوی الیاف ماکروستیک در حدود ۵/۶۷ تا ۶/۸۸ بدست آمده است.

۵. مراجع

- [۱] Broujerdi, V., Karimpour, H., & Alavikia, S. (۲۰۱۸). "Predicting the Shear Behavior of Reinforced Concrete Beams Using Non-linear Fracture Mechanics". International Journal of Civil Engineering, Vol. ۱۷ (۵), pp ۱-۹.
- [۲] Kaplan, M. F. (۱۹۶۱). "Crack propagation and the fracture of concrete". In Journal Proceedings, Vol. ۵۸(۱۱), pp ۵۹۱-۶۱۰.
- [۳] صالحی، ح.، مظلوم، م. (۱۳۹۷). " مطالعه های آزمایشگاهی و عددی گسترش ترک در بتن خودتراکم سبک ". مهندسی مکانیک مدرس، شماره ۶
- [۴] Karamloo, M., Mazloom, M., & Payganeh, G. (۲۰۱۶). "Influences of water to cement ratio on brittleness and fracture parameters of self-compacting lightweight concrete". Engineering Fracture Mechanics, Vol. ۱۶۸, pp ۲۲۷-۲۴۱.
- [۵] Beygi, M. H., Kazemi, M. T., Amiri, J. V., Nikbin, I. M., Rabbanifar, S., & Rahmani, E. (۲۰۱۴). "Evaluation of the effect of maximum aggregate size on fracture behavior of self-compacting concrete". Construction and Building Materials, Vol. ۵۵, pp ۲۰۲-۲۱۱.
- [۶] Afzali-Naniz, O., & Mazloom, M. (۲۰۱۹). "Fracture behavior of self-compacting semi-lightweight concrete containing nano-silica". Advances in Structural Engineering, Vol. ۲۲(۱۰), pp ۲۲۶۴-۲۲۷۷.
- [۷] Bentur, A., & Mindess, S. (۲۰۰۶). Fibre reinforced cementitious composites. Crc Press.

- [^۸] Fallah, S., & Nematzadeh, M. (۲۰۱۷). Mechanical properties and durability of high-strength concrete containing macro-polymeric and polypropylene fibers with nano-silica and silica fume. Construction and building materials, Vol. ۱۳۲, pp ۱۷۰-۱۸۷.
- [^۹] RILEM FMT-۸۹, Size-effect method for determining fracture energy and process zone size of concrete, Materials and Structures, Vol. ۲۳ (۶), pp ۴۶۱-۴۶۵, ۱۹۹۰.
- [^{۱۰}] RILEM FMC-۸۰. Determination of the fracture energy of mortar and concrete by means of three-point bend tests on notched beams, Materials and Structures, Vol. ۱۸, (۴), pp ۲۸۷-۲۹۰, 1985.
- [^{۱۱}] M. Elices, G. Guinea, J. Planas, Measurement of the fracture energy using three-point bend tests: Part ۴—Influence of cutting the P-δ tail, Materials and Structures, Vol. ۲۵ (۶), pp ۳۲۷-۳۳۴, ۱۹۹۲.
- [^{۱۲}] Kazemi, M. T., Golsorkhtabar, H., Beygi, M. H. A., & Gholamitabar, M. (۲۰۱۷). Fracture properties of steel fiber reinforced high strength concrete using work of fracture and size effect methods. Construction and Building Materials, Vol. 142, pp ۴۸۲-۴۸۹.
- [^{۱۳}] Nikbin, I. M., Davoodi, M. R., Fallahnejad, H., Rahimi, S., & Farahbod, F. (۲۰۱۵). Influence of mineral powder content on the fracture behaviors and ductility of self-compacting concrete. Journal of Materials in Civil Engineering, Vol. ۲۸(۳), pp ۳۰۱-۳۱۷.
- [^{۱۴}] Einsfeld, R. A., & Velasco, M. S. L. (۲۰۰۷). Measurement of the ratio GF/Gf for numerical analysis of concrete structures. Latin American Journal of Solids and Structures, Vol. ۴(۴), ۳۶۱-376.

$$G_f = 103.55 V_f + 33.15 \quad (R_{(r)})$$